



# Eintransistorverstärker

Eintransistorverstärker kann man wie folgt klassifizieren:

## Common-Emitter/Common-Source (BJK/MOSFET)

- invertierend (Phasendrehung)
- Hohe Spannungsverstärkung
- Kleine Stromverstärkung
- Eingangswiderstand ( $C-E \ll C-S$ )
- Ausgangswiderstand ( $C-E$   $C-S$ )

## Common-Collector/Common-Drain (BJK/MOSFET)

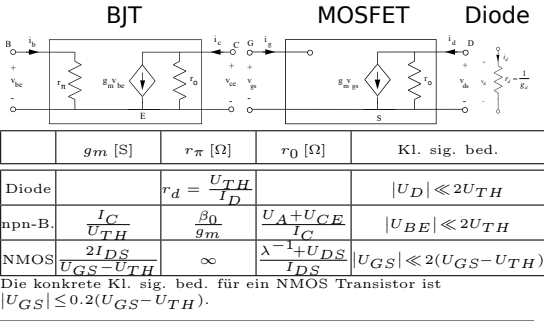
- nicht invertierend
- Hohe Stromverstärkung
- Hoher Eingangswiderstand
- Geringer Ausgangswiderstand
- Relativ große Eingangssignale möglich

## Common-Base/Common-Gate (BJK/MOSFET)

- nicht invertierend
- Hohe Spannungsverstärkung
- Geringer Eingangswiderstand
- Hoher Ausgangswiderstand

Hierbei liegt die Gemeinsame Klemme des Eingangs- und Ausgangssignals den Namen fest.

Ein Signal heisst **Kleinsignal**, wenn dessen Amplitude die Linearisierungsbedingungen des Systems nicht verletzt. Die wichtigsten Kleinsignalmodelle sind:



### Menü für DC Analyse

1. Ersetzen der Kapazitäten mit Leerläufen und der Spulen mit Kurzschlüssen.
2. Berechnung des Arbeitspunktes mit Hilfe der Großsignalmodelle.(Thévenin Transformation des Eingangs,  $I$  über Eingangsmasche berechnen,  $U$  über Ausgangsmasche berechnen)

### Menü für AC Analyse

1. Ersetzen der Kapazitäten mit Kurzschlüssen und der Spulen mit Leerläufen. Ersetzen der DC Spannungsquellen durch GND und der Stromquellen durch Leerläufe.
2. Ersetzen der Transistoren durch das entsprechende Kleinsignalmodell. Berechnen der Kleinsignalparameter (als Funktion des Arbeitspunktes).
3. Analyse der Kleinsignaleigenschaften der Schaltung (Verstärkung, Eingangswiderstand, Ausgangswiderstand, etc.).

Allgemein gilt wie immer:  $A_U = \frac{U_{out}}{U_{in}}$  und  $A_I = \frac{I_{out}}{I_{in}}$ .

$R_{in} = \frac{U_x}{I_x}|_{U_{out} \rightarrow GND}$  und  $R_{out} = \frac{U_x}{I_x}|_{U_{in} \rightarrow GND}$

# 7 Zweitorthorie

### Admittanzmatrix

$$\begin{pmatrix} I_1 \\ I_2 \end{pmatrix} = \begin{pmatrix} Y_{11} = \frac{I_1}{U_1} \Big|_{U_2=0V} & Y_{12} = \frac{I_1}{U_2} \Big|_{U_1=0V} \\ Y_{21} = \frac{I_2}{U_1} \Big|_{U_2=0V} & Y_{22} = \frac{I_2}{U_2} \Big|_{U_1=0V} \end{pmatrix} \cdot \begin{pmatrix} U_1 \\ U_2 \end{pmatrix}$$

### Inverse Hybridmatrix

$$\begin{pmatrix} U_1 \\ U_2 \end{pmatrix} = \begin{pmatrix} G_{11} = \frac{I_1}{I_2} \Big|_{I_2=0A} & G_{12} = \frac{I_1}{I_2} \Big|_{U_1=0V} \\ G_{21} = \frac{U_2}{I_1} \Big|_{I_2=0A} & G_{22} = \frac{U_2}{I_2} \Big|_{U_1=0V} \end{pmatrix} \cdot \begin{pmatrix} I_1 \\ I_2 \end{pmatrix}$$

### Hybridmatrix

$$\begin{pmatrix} U_1 \\ I_2 \end{pmatrix} = \begin{pmatrix} H_{11} = \frac{U_1}{I_1} \Big|_{U_2=0V} & H_{12} = \frac{U_1}{I_2} \Big|_{I_1=0A} \\ H_{21} = \frac{I_2}{I_1} \Big|_{U_2=0V} & H_{22} = \frac{I_2}{I_2} \Big|_{I_1=0A} \end{pmatrix} \cdot \begin{pmatrix} I_1 \\ U_2 \end{pmatrix}$$

### Impedanzmatrix

$$\begin{pmatrix} U_1 \\ U_2 \end{pmatrix} = \begin{pmatrix} Z_{11} = \frac{U_1}{I_1} \Big|_{I_2=0A} & Z_{12} = \frac{U_1}{I_2} \Big|_{I_1=0A} \\ Z_{21} = \frac{U_2}{I_1} \Big|_{I_2=0A} & Z_{22} = \frac{U_2}{I_2} \Big|_{I_1=0A} \end{pmatrix} \cdot \begin{pmatrix} I_1 \\ I_2 \end{pmatrix}$$

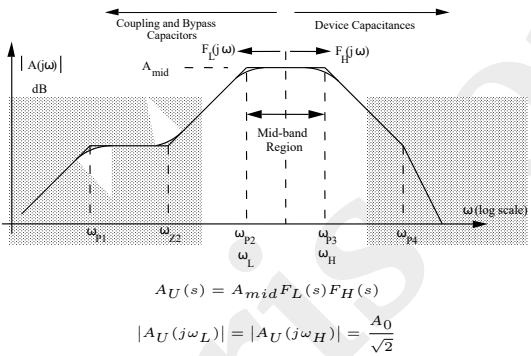
Hierbei ist  $U_1$  die Eingangsspannung und  $U_2$  die Ausgangsspannung. Die Ströme  $I_1$  und  $I_2$  fließen in das Zweitor rein.

Umwandlung von Zweitormatrizen

	<u>Z</u>	<u>Y</u>	<u>A</u>	<u>H</u>	<u>C</u>
<u>Z</u>	$Z_{11}$ $Z_{21}$ $Z_{12}$ $Z_{22}$	$\frac{Y_{22}}{\det \mathbf{Y}}$ $\frac{-Y_{12}}{\det \mathbf{Y}}$ $\frac{-Y_{21}}{\det \mathbf{Y}}$ $\frac{Y_{11}}{\det \mathbf{Y}}$	$\frac{A_{11}}{A_{21}}$ $\frac{\det \mathbf{A}}{A_{21}}$ $\frac{1}{A_{21}}$ $\frac{A_{22}}{A_{21}}$	$\frac{\det \mathbf{H}}{H_{22}}$ $\frac{H_{12}}{H_{22}}$ $\frac{-H_{21}}{H_{22}}$ $\frac{1}{H_{22}}$	$\frac{1}{C_{11}}$ $\frac{-C_{12}}{C_{11}}$ $\frac{C_{21}}{C_{11}}$ $\frac{\det \mathbf{C}}{C_{11}}$
<u>Y</u>	$\frac{Z_{22}}{\det \mathbf{Z}}$ $\frac{-Z_{12}}{\det \mathbf{Z}}$ $\frac{-Z_{21}}{\det \mathbf{Z}}$ $\frac{Z_{11}}{\det \mathbf{Z}}$	$Y_{11}$ $Y_{21}$ $Y_{12}$ $Y_{22}$	$\frac{A_{22}}{A_{12}}$ $\frac{-\det \mathbf{A}}{A_{12}}$ $\frac{1}{A_{12}}$ $\frac{A_{11}}{A_{12}}$	$\frac{1}{H_{11}}$ $\frac{-H_{12}}{H_{11}}$ $\frac{H_{21}}{H_{11}}$ $\frac{\det \mathbf{H}}{H_{11}}$	$\frac{\det \mathbf{C}}{C_{22}}$ $\frac{C_{12}}{C_{22}}$ $\frac{-C_{21}}{C_{22}}$ $\frac{1}{C_{22}}$
<u>A</u>	$\frac{Z_{11}}{Z_{21}}$ $\frac{\det \mathbf{Z}}{Z_{21}}$ $\frac{1}{Z_{21}}$ $\frac{Z_{22}}{Z_{21}}$	$\frac{-Y_{22}}{Y_{21}}$ $\frac{-1}{Y_{21}}$ $\frac{-\det \mathbf{Y}}{Y_{21}}$ $\frac{-Y_{11}}{Y_{21}}$	$A_{11}$ $A_{12}$ $A_{21}$ $A_{22}$	$\frac{-\det \mathbf{H}}{H_{21}}$ $\frac{-H_{11}}{H_{21}}$ $\frac{-H_{22}}{H_{21}}$ $\frac{-1}{H_{21}}$	$\frac{1}{C_{21}}$ $\frac{C_{22}}{C_{21}}$ $\frac{C_{11}}{C_{21}}$ $\frac{\det \mathbf{C}}{C_{21}}$
<u>H</u>	$\frac{\det \mathbf{Z}}{Z_{22}}$ $\frac{-Z_{12}}{Z_{22}}$ $\frac{-Z_{21}}{Z_{22}}$ $\frac{1}{Z_{22}}$	$\frac{1}{Y_{11}}$ $\frac{-Y_{12}}{Y_{11}}$ $\frac{Y_{21}}{Y_{11}}$ $\frac{\det \mathbf{Y}}{Y_{11}}$	$\frac{A_{12}}{A_{22}}$ $\frac{\det \mathbf{A}}{A_{22}}$ $\frac{-1}{A_{22}}$ $\frac{A_{21}}{A_{22}}$	$H_{11}$ $H_{12}$ $H_{21}$ $H_{22}$	$\frac{C_{22}}{\det \mathbf{C}}$ $\frac{-C_{12}}{\det \mathbf{C}}$ $\frac{-C_{21}}{\det \mathbf{C}}$ $\frac{C_{11}}{\det \mathbf{C}}$
<u>C</u>	$\frac{1}{Z_{11}}$ $\frac{-Z_{12}}{Z_{11}}$ $\frac{Z_{21}}{Z_{11}}$ $\frac{\det \mathbf{Z}}{Z_{11}}$	$\frac{\det \mathbf{Y}}{Y_{22}}$ $\frac{Y_{12}}{Y_{22}}$ $\frac{-Y_{21}}{Y_{22}}$ $\frac{1}{Y_{22}}$	$\frac{A_{21}}{A_{11}}$ $\frac{-\det \mathbf{A}}{A_{11}}$ $\frac{1}{A_{11}}$ $\frac{A_{12}}{A_{11}}$	$\frac{H_{22}}{\det \mathbf{H}}$ $\frac{-H_{12}}{\det \mathbf{H}}$ $\frac{-H_{21}}{\det \mathbf{H}}$ $\frac{H_{11}}{\det \mathbf{H}}$	$C_{11}$ $C_{12}$ $C_{21}$ $C_{22}$

# 8 Frequenzgang

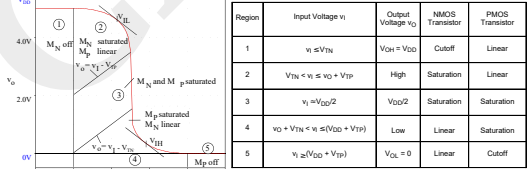
Dämpfungen werden i. d. R. in einem Bodendiagramm dargestellt.



Allgemeine Regeln bei sehr hohen und sehr niedrigen Frequenzen:  
- Bei Frequenzen unterhalb des Mittelbandes dürfen die **kondensatoren nicht kurzgeschlossen** werden.  
- Bei Frequenzen oberhalb des Mittelbandes begrenzen die internen Kapazitäten der Bauteile die Verstärkung.

# 9 Digitale Schaltungen

Die Kennlinie eines MOSFET Inverters sieht wie folgt aus:



### Noise Margins:

$$NM_L = U_{IL} - U_{OL}, \quad NM_H = U_{OH} - U_{IH}$$

### Rise and Fall-time:

$$U_{10\%} = U_{OL} + 0.1(U_{OH} - U_{OL}), \quad U_{90\%} = U_{OL} + 0.9(U_{OH} - U_{OL})$$

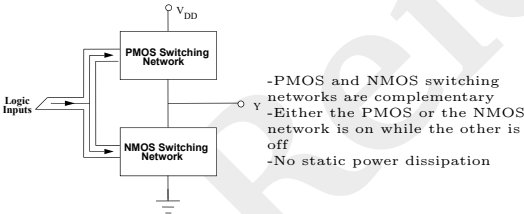
### Propagation Delay:

$$U_{50\%} = \frac{(U_{OH} + U_{OL})}{2}, \quad \tau_P = \frac{(\tau_{PLH} + \tau_{PHL})}{2}$$

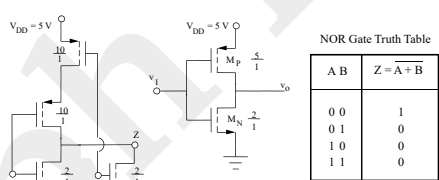
### Dynamic Power Dissipation:

$$P_D = C V_{DD}^2 f$$

Die meist benutzte Logik ist die **CMOS Logik**. Sie funktioniert wie folgt:

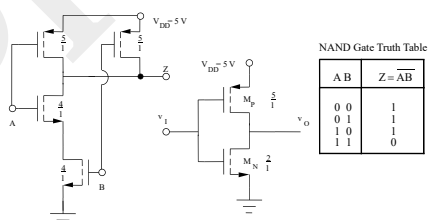


### CMOS NOR



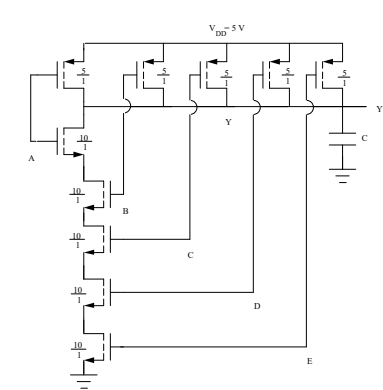
A B	Z = A + B
0 0	1
0 1	0
1 0	0
1 1	0

### CMOS NAND

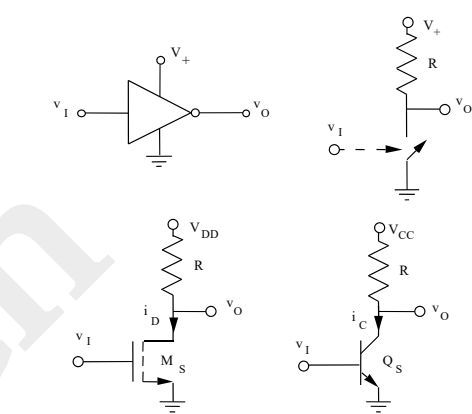


A B	Z = A B
0 0	1
0 1	1
1 0	1
1 1	0

### CMOS Multi-Input NAND



### Inverterschaltungen Beispiele



### Allgemeine Logik

Operation	Boolean Representation
NOI	$Z = \bar{A}$
OR	$Z = A + B$
AND	$Z = A \cdot B = AB$
NOR	$Z = \overline{A + B}$
NAND	$Z = \overline{A \cdot B} = \overline{AB}$

Um eine gute Funktionalität digitaler Schaltungen zu sichern, müssen eine Reihe von Parametern optimiert werden, wie zum Beispiel:

- Rauschabstände
- Regeneration von logischen Pegeln
- Direktionalität
- Treiberfähigkeit
- Leistungsverbrauch
- Flächenbedarf (Kosten)

# 10 Mathematische Grundlagen

$x$ in Grad	0	15	30	45	60	75	90	120	135	150	180
$x$ in rad	0	$\frac{\pi}{12}$	$\frac{\pi}{6}$	$\frac{\pi}{4}$	$\frac{\pi}{3}$	$\frac{5\pi}{12}$	$\frac{\pi}{2}$	$\frac{2\pi}{3}$	$\frac{3\pi}{4}$	$\frac{5\pi}{6}$	$\pi$
$\sin(x)$	0	$\frac{1}{\sqrt{6}+\sqrt{2}}$	$\frac{1}{2}$	$\frac{1}{\sqrt{2}}$	$\frac{\sqrt{3}}{2}$	$\frac{1}{\sqrt{6}-\sqrt{2}}$	1	$\frac{\sqrt{3}}{2}$	$\frac{\sqrt{2}}{2}$	$\frac{1}{2}$	0
$\cos(x)$	1	$\frac{\sqrt{3}+1}{2}$	$\frac{\sqrt{3}}{2}$	$\frac{1}{\sqrt{2}}$	$\frac{1}{2}$	$\frac{\sqrt{3}-1}{2}$	0	$-\frac{1}{2}$	$-\frac{\sqrt{2}}{2}$	$-\frac{\sqrt{3}}{2}$	-1
$\tan(x)$	0	$2 - \sqrt{3}$	$\frac{1}{\sqrt{3}}$	1	$\sqrt{3}$	$2 + \sqrt{3}$	$\infty$	$-\sqrt{3}$	-1	$-\frac{\sqrt{3}}{3}$	0

$$ax^2 + bx + c = 0$$

$$x_{1,2} = \frac{-b \pm \sqrt{b^2 - 4ac}}{2a}$$

$$x^2 + px + q = 0, \quad p = \frac{b}{a}, \quad q = \frac{c}{a}$$

$$x_{1,2} = -\frac{p}{2} \pm \sqrt{\frac{p^2}{4} - q}$$